

## مطالعه پتروگرافی و ژئوشیمی سنگ‌های ولکانیکی منطقه کان سرخ (جنوب غرب الیگودرز - استان لرستان)

۱، \* امین پناهی-۲، سید حیدر خی-۳، رضوان هاشمی

دانشجوی دکتری زمین‌شناسی اقتصادی، دانشگاه آزاد اسلامی تهران شمال مدرس زمین‌شناسی دانشگاه آزاد دره شهر

۲. استاد یار گروه زمین‌شناسی، دانشگاه آزاد اسلامی واحد خرم‌آباد

۳، دانشجوی کارشناسی ارشد زمین‌شناسی اقتصادی، دانشگاه آزاد اسلامی واحد خرم‌آباد

amin\_panahi@ymail.com)

## چکیده

منطقه مورد مطالعه در ۳۵ کیلومتری جنوب غرب شهرستان الیگودرز واقع است و از لحاظ ژئومورفولوژی منطقه منطبق با مناطق نیمه کوهستانی است و دارای آب و هوای کوهستانی می‌باشد. از لحاظ ساختاری نیز در زون سنتنچ سیرجان قرار گرفته است. منطقه مورد مطالعه تحت تأثیر فازهای مهم کوهزایی سیمیرین و کرتاسه پایانی قرار گرفته و در آن توده‌های نفوذی متعددی نظیر الیگودرز به تزریق شده‌اند. این توده هادرون شیل‌ها و ماسه سنگ‌های ژوراسیک نفوذ کرده‌اند. ترکیب سنگ‌های آذرین عمده‌تا از گرانودیوریت تا ولکانیک‌های آندزیتی می‌باشد. مطالعات سنگ‌شناسی نشان می‌دهد که سنگ‌های آتش‌شسانی منطقه از نوع آندزیت پورفیری می‌باشند. از نظر کانی‌زایی کانی‌های پلاژیوکلاز، آمفیبول، کوارتز، کلریت و لیمونیت مهمترین کانی‌های منطقه می‌باشند که به صورت رگچه‌ای نمود دارند. از نظر دگرسانی، سرسیتی شدن، اپیدوتی شدن و کلریتی شدن دگرسانی‌های غالب در منطقه هستند. با توجه به گسترش زون‌های دگرسانی در سنگ‌های آتش‌شسانی و رگه‌ای بودن کانه زائی در این سنگ‌ها به نظر می‌رسد که این سنگ‌ها میزان اصلی کانه زائی در منطقه هستند و عامل کانه ساز می‌باشد مرتبط با نفوذی‌های احتمالاً گرانودیوریتی باشد. بر اساس دیاگرام‌های تکتونو-ماگمایی تمام نمونه‌ها در محدوده مرتبط با قوس‌های بعد از تصادم قرار می‌گیرند. سنگ‌های منطقه بر اساس گوشه‌های اولیه و کندریت هانر مالزیه شده‌اند که همه نمونه‌ها نشان دهنده ویژگی‌های شیمیایی و ماهیت ماگمایی مشابه از دید گاه متاسوماتیسم گوشه‌ای و یا اغشتنگی گوشه با پوسته قاره‌ای می‌باشد.

لغات کلیدی: سنگ‌شناسی، دگرسانی، کانی‌شناسی، ژئوشیمی، متاسوماتیسم.

## Abstract

The area that has been studied is located in 35Km of south west Aligudarz town and is as a small portion of Sanandaj – Sirjan Zone (SSZ). The studied region is affected by important orogenic phases of Cimmerian and final cretaceous and several intrusive masses like Aligudarz are injected in it. These masses have penetrated into shales and Jurassic sandstone. The igneous rocks compositions are mainly from granodiorite to andesite volcanic. The petrology studies show that volcanic rocks of the region are andesite porphyry. In terms of mineralization: plagioclase, amphibole, quartz, chlorite and limonite minerals are the most important vein-type minerals. In terms of alteration, sericitization, chloritization, and epidotization are dominated types alterations in area. With regard to development of alteration zones in volcanic rocks and vein mineralization ore-controlls, it seems that these rocks are the main host rock and mineralize must be related to probably granodioritic intrusion. According to tectonomagmatic diagrams all samples are placed in the area related collision volcanic arcs. The study area rocks are normalized based on primitive mantle and Conderites values. All cases almost show similarity geo chemically and magmatic nature and are similar from point of mantle metasomatism and crustal contamination.

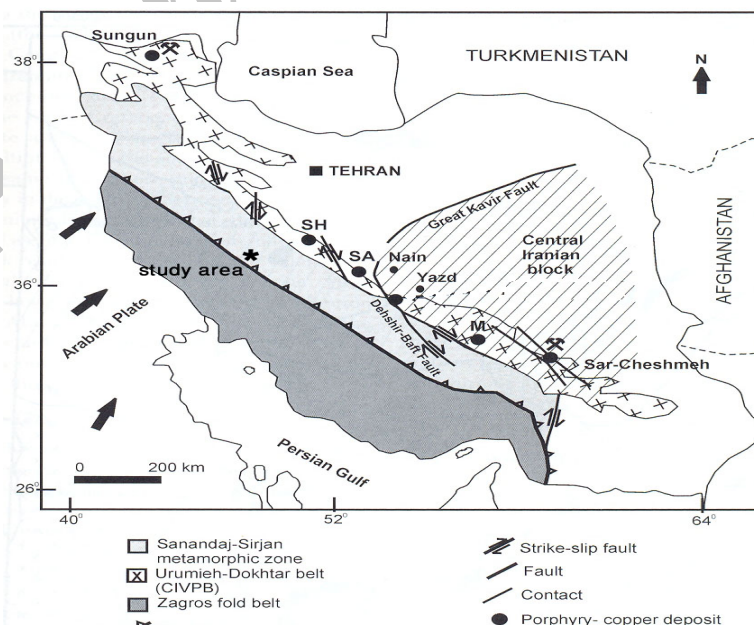
**Keywords:** petrology-Alteration-mineralization-Geochemistry-metasomatism.

### مقدمه

ناحیه مورد مطالعه در فاصله‌ی ۳۵ کیلومتری جنوب غربی شهرستان الیگودرز (شمال خاوری استان لرستان) در حد فاصل بین عرض‌های شمالی "۲۲° ۲۲' و طولهای شرقی "۵۱° ۳۶' قرار دارد و در منطقه‌ای کوهستانی با ژئومورفولوژی نیمه کوهستانی واقع شده است. این ناحیه بر اساس تقسیمات زمین‌ساختی ایران (Zaravandi et al, 2005) بخشی از زون دگرگونی سنتنج - سیرجان محسوب می‌شود (شکل ۱). از لحاظ سنگ‌شناسی می‌توان اندیزیت پورفیری را به عنوان سنگ میزبان نمایان نمود. در این محدوده زون‌های دگرسانی سریستی، اپیدوتی و کلریتی قابل مشاهده است. که می‌توان کانی‌سازی مس به صورت رگه‌ای و یا در هاله‌های دگرسانی به صورت کانی‌های اکسیدی و سولفیدی اولیه و ثانویه مشاهده می‌شود. هدف اصلی از ارائه این مقاله بررسی پتروگرافی، دگرسانی، کانی‌شناسی و ژئوشیمی در رگه‌های اصلی و داخل هاله‌های دگرسانی و گمانه‌های حفاری شده در منطقه کان سرخ می‌باشد.

### زمین‌شناسی عمومی:

محدوده مورد مطالعه در زون سنتنج - سیرجان قرار دارد (اشتوکلین ۱۹۶۸). این زون گستردگی زیادی داشته و از شمال خاوری به جنوب باختری به سه زون فرعی تقسیم می‌گردد (سهیلی و همکاران ۱۳۷۱) زون سنتنج سیرجان فالاترین زون در طی تاریخ زمین‌شناسی ایران بوده که به علت رخداد فازهای کوهزایی فرایند دگرگونی و مagmaتیسم زیادی را به خود دیده است (درویش زاده ۱۳۷۰) که بر این اساس ناحیه مورد مطالعه در زون فرعی مزوژوئیک قرار می‌گیرد. که ویژگی ان حضور شیل‌ها و ماسه سنگهای ژوراسیک و جایگزینی توده‌های متعددی نظیر الیگودرز تزریق شده اند. سنگ‌های ولکانیکی کان سرخ (جنوب شرق عزیزآباد) در یک واحد گدازه آگلومراتی تشکیل شده است. سنگ‌های این واحد عمدها شامل گدازه و آذرآواری بوده که ترکیبی از گرانودیوریت تا ولکانیکهای آندزیتی (در بعضی قسمت‌ها با بافت پورفیری و گرانولار) دارند. ضخامت این مجموعه در ناحیه مورد مطالعه بسیار متغیر بوده (۱۰۰ تا ۱۵۰ متر در جنوب روستای دره تخت تا حدود ۲۰ متر در شمال روستای کان سرخ) و در محدوده کانسار این ضخامت افزایش می‌یابد. کن tact بالای این واحد شامل لایه‌های نازک تا متوسط از آهک‌های فسیل دار تا حدودی ماسه‌ای می‌باشد. (محمدیگی، ۱۳۷۶)



(شکل ۱): نقشه تقسیمات زمین‌ساختی ایران (zaravandi et al, 2005) و موقعیت ناحیه کان سرخ در آن



## بحث

## مطالعه پتروگرافی:

مطالعات سنگ شناسی نشان می دهد که منطقه شامل سنگ های آذرآواری، آتشفسانی و احتمالاً آذرین درونی (گرانودیوریت) همراه با تیپ های فرعی می باشد و گرسانی های غالب در منطقه سرسیتی، کلریتی و اپیدوتی می باشد. سنگ های آذرآواری شامل پلازیوکلاز، کلریت و قطعات سنگی آندزیتی با بافت پور فیری هستند که در بیشتر موارد رگه های کوارتز، درز و شکاف این سنگ ها را پر کرده است (شکل ۲- A). سنگ های آتشفسانی شامل آندزیت و آندزیت پورفیری با کانی های پلازیوکلاز، آمفیبول (هورنبلند)، سرسیت، کلریت و اپیدوت (شکل ۲- B). سنگ های آذرین بیرونی منطقه آندزیت های پورفیری حاوی کانی های کوارتز، پلازیوکلاز و بیوتیت (کلریت) و رگه های مالاکیت، اکسید آهن و کوارتز در آنها دیده می شود. که د گرسانی سرسیتی در این تصویر شدید می باشد (شکل ۲- C). کانی های مافیک در سنگ آندزیت پورفیری تمامآ تبدیل به کلریت و اپیدوت شده و اثار بقایای کریستالهای کشیده پلازیوکلاز مشاهده می شود. و د گرسانی کلریتی شدید آدر تصویر مشاهده می شود (شکل ۲- D). در بعضی از نمونه ها بلورهای پلازیوکلاز با ماکل پلی سنتیک همراه با بلورهای د گرسان شده آمفیبول و رگچه های آهن با بافت گرانولار در بخش هایی با د گرسانی کلریتی و اپیدوتی نیز دیده می شود (شکل ۲- E). در بسیاری از مقاطع رگچه های آهن به فراوانی دیده می شود. که این رگچه های آهن (گوتیت و لیمونیت) به همراه رگچه های مالاکیت در سنگهای آندزیت پورفیری که نشانگر زون اکسیدی در منطقه کان سرخ می باشد رخمنو دارد (شکل ۲- F).

شکل ۲- تصاویر میکروسکوپی از سنگ های موجود در منطقه کان سرخ، در نور XPL (A) سنگ های آذرآواری شامل پلازیوکلاز، کلریت و قطعات سنگی آندزیتی با بافت پور فیری هستند که در بیشتر موارد رگه های کوارتز، درز و شکاف این سنگ ها را پر کرده است. (B) سنگ های آتشفسانی شامل آندزیت و آندزیت پورفیری با کانی های پلازیوکلاز، آمفیبول (هورنبلند)، سرسیت، کلریت و اپیدوت هستند. (C) گرانودیوریت پورفیری حاوی کانیهای پلازیوکلاز، رگه های مالاکیت، بیوتیت و اکسید آهن در منطقه کان سرخ. (D) بافت گرانولار کانی های مافیک در این مقاطع تمامآ تبدیل به کلریت و اپیدوت شده و اثار بقایای

کریستالهای کشیده پلازیوکلاز مشاهده می شود. و دگرسانی کلریتی شدید آدر تصویر مشاهده می شود. (E) بلورهای پلازیوکلاز با ماکل پلی سنتیک همراه با بلورهای دگرسان شده امفیبول و رگچه های اهن با بافت گرانولار در بخش هایی با دگرسانی کلریتی واپیدوتی نیز دیده می شود. (F) رگچه های اهن (گوتیت و لیمونیت) به همراه رگچه های مالاکیت در سنگهای انزیت پورفیری که نشانگر زون اکسیدی در کانسار کان سرخ می باشد رخنمون دارد.

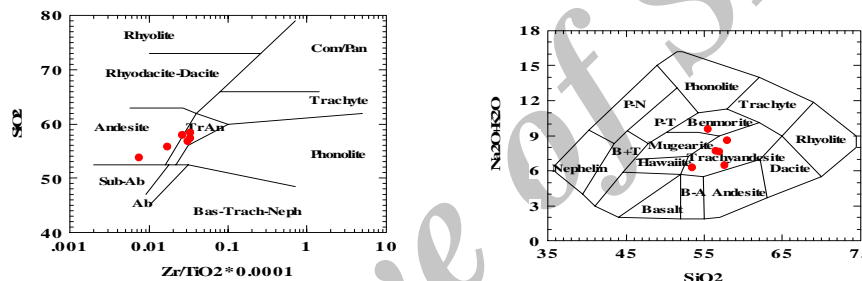
Bi=biotite; Pl=plagioclase; Q=quartz; Am=amphibole; Ma=malachite; Go=gotite; Li=limonite

### ژئوشیمی:

به منظور نامگذاری توده های خروجی منطقه مورد مطالعه بر اساس ترکیب کانی شناختی مجازی از نرم افزار های NEWPET, IGPET, MINPET استفاده شده است.

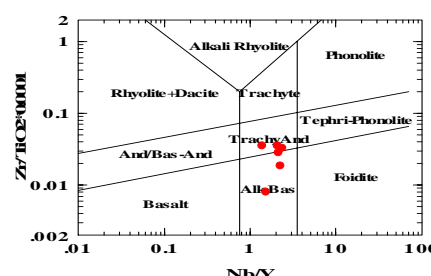
رده بندی سنگ های خروجی منطقه بر اساس اکسیدهای اصلی و عناصر کمیاب: (جدول ۱)

برای رده بندی سنگ های آذرین خروجی از ۳ دیاگرام استفاده شده است رده بندی سنگ های آتشفسانی که Cox et al (1979) ارائه شده است (دیاگرام ۱) ۵ نمونه تراکی آندزیت و ۱ نمونه بنموریت موجود می باشد.



دیاگرام ۱- موقعیت سنگ های آذرین خروجی منطقه در دیاگرام ۲- رده بندی سنگ های آذرین خروجی در نمودار  $\text{SiO}_2 / \text{Zr/TiO}_2 * 0.0001$  به (Cox et al 1979)

در رده بندی سنگ های آتشفسانی توسط Winchester and Floyd (1977) که بر اساس نسبت  $\text{SiO}_2 / \text{Zr/TiO}_2 * 0.0001$  می باشد، ۴ نمونه تراکی آندزیت و ۲ نمونه آندزیت می باشد (دیاگرام ۲). سنگ های ولکانیکی را همچین بر اساس نسبت  $\text{Nb/Y} / \text{Zr/TiO}_2 * 0.0001$  (Winchester and Floyd, 1977) کردند (دیاگرام ۳) بر این اساس ۴ نمونه تراکی آندزیت و ۲ نمونه آندزیت می باشد. به این ترتیب سنگ های آتشفسانی منطقه تراکی آندزیت و آندزیت پورفیری می باشند.



دیاگرام ۳- رده بندی سنگ های آذرین خروجی در نمودار  $\text{Nb/Y} / \text{Zr/TiO}_2 * 0.0001$  به (Winchester and Floyd, 1977)



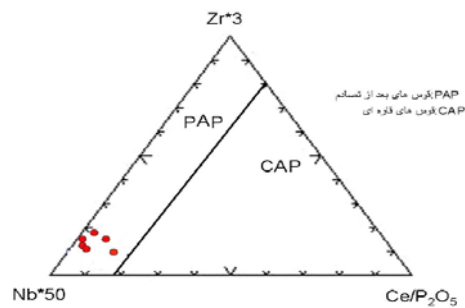
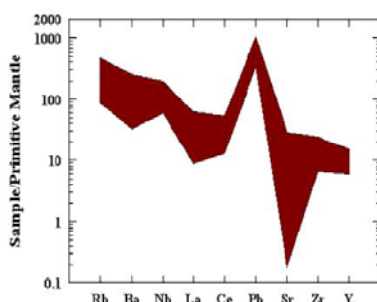
(جدول ۱) نتایج ایالیز XRF، اکسیدهای اصلی و عناصر کمیاب در نمونه های منطقه

جایگاه ژئودینامیکی کانسار:

در موقعیتهای تکتونیکی درون صفحه‌ای تمایل به ظهور به صورت توده‌های زمین‌شناسی مجزا دارند، در حالی که انواع مرتبط با موقعیت تکتونیکی فروزانش تمایل به ظهور به صورت اعصاب انتهایی یک طیف پیوسته از سنگهای آذرین دارند که دامنه‌ای از تولیث تا شوشوئیت و سنگهای کالک آلکالن پر پتاسیم در طول تکامل قوس را شامل می‌شوند... در نواحی قاره‌ای این سنگ‌ها بیشتر از نوع فلزیک بوده و دارای انواع متفاوت می‌باشند، در صورتی که وقتی در جزایر قوسی ظاهر می‌شوند، از نظر ترکیب بسیار محدود بوده و تنوع سنگ‌های دسته اول را ندارند و بیشتر از آندزیت تشکیل می‌شوند (Pearce et al., 1984). برای تعیین جایگاه زمین‌ساختی سنگهای منطقه از نمودارهایی که توسط Pearce et al. (1984) ارائه شده، استفاده شده است. برای تعیین محیط تکتونیکی سنگهای پتاسیک منطقه از Muller & Groves (1997) (ارائه شده، استفاده شده است. برای تعیین محیط تکتونیکی سنگهای پتاسیک منطقه از دیاگرام‌های خاص سنگهای پتاسیک که توسط Muller & Groves (1997) ارائه شده است استفاده گردید. بر اساس این دیاگرام‌ها تمام نمونه‌ها در محدوده مرتبط با قوس‌های ولکانیک قرار می‌گیرند (دیاگرامهای ۴ و ۵). به منظور تعیین دقیق‌تر موقعیت تکتونیکی سنگها و تفکیک قوسهای قاره‌ای از قوس‌های بعد از تصادم از نمودار سه متغیره (Zr×3-Nb×50-Ce/P2O) که توسط Muller & Groves (1997) ارائه شده است استفاده گردید. بر اساس این دیاگرام، نمونه‌های منطقه در موقعیت تکتونیکی قوسهای بعد از تصادم قرار می‌گیرند (دیاگرام ۶)

دیاگرام ۵ - موقعیت نمونه های منطقه در  
 (Muller and Groves, 1997) Zr-Y  
 نمودار  $TiO_2-Al_2O_3$

دیاگرام ۴ - موقعیت نمونه های منطقه در نمودار  
 (Muller and Groves, 1997) Zr-Y



دیاگرام ۷ - نمودار عنکبوتی  
 نرمالیزه شده به گوشه  
 اولیه (Sun and Mc Donogh, 1989)

دیاگرام ۶ - موقعیت نمونه های منطقه در نمودار مثلثی  
 (Muller and Groves, 1997) Zr\*3-Nb\*50-Ce/P2O5

مطالعه بر روی تغییر و تحولات ایجاد شده و دنبال کردن روند حوادث رخ داده در مagma و سنگهای حاصل از آن توسط روش‌های ژئوشیمی صورت می‌گیرد (Rollinson, 1993). برای تغییر و تفسیرهای ژئوشیمیایی از تعداد ۶ نمونه که به روش XRF مورد تجزیه قرار گرفته اند استفاده شده است.

با استفاده از داده های آنالیز ۶ نمونه، سنگهای منطقه مورد مطالعه دارای ویژگیهای ژئوشیمیایی زیر می‌باشند:

۱- دامنه  $SiO_2$  در این سنگ‌ها نسبتاً بالا و بین ۵۳/۶۶ تا ۵۸/۱۸ در تغییر می‌باشد.

۲- مقدار  $K_2O+Na_2O$  بین ۶/۲۳ تا ۸/۵ در نوسان است.

۳- مقدار  $Fe/Mg$  بین ۵/۳۴ تا ۱/۷۹ در نوسان است.

۴- مقدار  $Nb$ ,  $Zr$  و  $Y$  بالاست.

۵- مقدار  $CaO$  بین ۱/۱۸ تا ۳/۵۸ در تغییر است.

۶- مقدار  $MgO$  نسبتاً پایین بین ۱/۲۴ تا ۳/۳۷ در نوسان است.

به منظور بررسی میزان تغییر و تحولات magma مولد نسبت به magma اولیه، همچنین تعیین منشا و ارتباط ژنتیکی آنها از نمودارهای عنکبوتی استفاده می‌شود. در این راستا داشتن یک الگوی جامع که بتوان فراوانی عناصر را نسبت به آن سنجید مفید است، که این عمل را بهنجار سازی (Normalization) می‌نامند. دیاگرام‌های عنکبوتی با استفاده از عناصر اصلی و کمیاب و نرمالیزه کردن آنها نسبت به مقادیر این عناصر در گوشه اولیه رسم می‌گردد. در نتیجه این نمودار اغلب تعداد بیشتری از آنومالی‌های مثبت و منفی را نشان می‌دهند که منعکس کننده رفتار گروه‌های مختلف عناصر کمیاب می‌باشند. به عنوان مثال رفتار عناصری با تحرک بالا مثل (Eu, Rb, Ba, K, Cs) LILE با عناصر کم تحرک (Ta, Nb, Ti, Zr) HFSE متفاوت است. به وسیله شیمی سنگ منشا و HFSE تابعی از فاز سیال است. در صورتی که غلظت LILE فرآیندهای بلور-مذاب که در حین تشکیل سنگ صورت می‌گیرد، کنترل می‌شود. سنگهای منطقه مورد مطالعه بر مبنای گوشه

اولیه و کندریت نرمالیزه شده اند ، (Pearce et al., 1984). تمام نمونه ها تا حدودی روند مشابهی دارند که بیانگر هم مانگما بودن آنهاست. (دیاگرام ۷)

در نمودارهای ارائه شده عناصر Rb, Ba, غنی شدگی را در سنگهای منطقه نشان میدهند، غنی شدگی عناصر فوق میتواند در ارتباط با فرآیند متاسوماتیسم گوشه یا آلاش پوسته قاره های باشد. احتمالاً نتیجه حرک این عنصر در طی فرآیند فرورانش است. با توجه به مشخصات گفته شده، در دیاگرام عنکبوتی بهنجار شده نسبت به گوشه اولیه بر اساس داده های (Sun & McDonogh, 1989) سنگهای آذربایجان منطقه رکان سرخ نیز از نوع سنگ های آذربایجان پتاسیک و مرتبط با رژیم فرورانش می باشد.

#### نتیجه گیری:

سنگ های ولکانیکی کان سرخ از نوع آذربایجان درونی (عمدتاً گرانودیوریت) تا آتشفسانی (عمدتاً آندزیت، تراکی آندزیت) می باشد. این ناحیه از نظر دگرسانی می تواند نمایان کننده دگرسانی های سرسیتی شدن، اپیدوتی شدن و کلریتی شدن باشد. در منطقه کانی اولیه مانند پلازیو کلاز تشکیل یافته و کانی های دیگری همانند کوارتز، آمفیبول، مالاکیت قابل مشاهده است که بعضاً ثانوی بوده و بر اساس دیاگرام های تکتونیک می توان اینها را در محدوده مرتبط با قوس های بعد از تصادم قرار می گیرد. سنگهای منطقه بر اساس گوشه اولیه و کندریت نرمالیزه شده اند که همه نمونه ها روند مشابهی نشان داده که بیانگر هم مانگما بودن آنهاست. که سنگهای منطقه مورد مطالعه در ارتباط قوس های قاره ای بوده و شاخص های مانگما کالک الکالن می باشد.

#### منابع فارسی :

- ۱- ارجمند، م، ۱۳۸۷، مطالعه دگرسانی، زئوپیمی، کانی سازی مس و اهن در منطقه قره تپه، شهرستان میانه، پایان نامه کارشناسی ارشد زمین شناسی اقتصادی، دانشگاه پیام نور تبریز
- ۲- درویش زاده، ع، (۱۳۷۰)، زمین شناسی ایران، نشر دانش امروز (وابسته به مؤسسه انتشارات امیر کبیر)
- ۳- سهیلی، م - جعفریان، عبدالهی، م، ۱۳۷۱، نقشه زمین شناسی ۱/۱۰۰۰۰ ناحیه الیگودرز با شرح مختصر، سازمان زمین شناسی کشور
- ۴- محمد بیگی، ع، ۱۳۷۶، زمین شناسی اقتصادی منطقه ازنا(دره تخت)، پایان نامه کارشناسی ارشد زمین شناسی اقتصادی، دانشگاه شهید بهشتی

5- Cox, K.G., Bell, G.D., and Pankhurst, R.J., 1979. The interpretation of igneous rocks. George Alien and Unwin, London, 450p.

6- Muller, D., and Groves, D. I., 1997. Potassic igneous rocks and associated gold - copper mineralization. Springer.

7- Pearce, J.A. Hariss, N.B.W. and Tindle, A.G, 1984. Trace element discrimination diagram for the tectonic interpretation of granitic rocks. Journal of Petrology 25, 956 – 983.

8- Rollinson, H.R., 1993. Using Geochemical Data: Evaluation, Presentation, Interpretation. Longman Scientific & Technical, p.352.

9- Stocklin, J., 1968. Structural History and Tectonic of Iran: A Review. Amer. Assoc. Petrol. Geol. Bull; 52, 1229-1258.



- 10- Sun, S.S., Mc Donough, W.F., 1989. Chemical and isotopic systematics of oceanic basalts: implications for mantle composition and processes. Geological Society, London, Special Publications 42, 313-345.
- 11- Winchester, J.A., and Floyd, P.A., 1977. Geochemical discrimination of different magma series and their differentiation products using immobile elements. Chem. Geol., 20: 325--343.
- 12- Zarasvandi. A., Liaghat. S., Zentilli. M, 2005. Geology of the Darreh-. Zerreshk and Ali-Abad porphyry co

Archive of SID